

# Analiza aperiodičnih signala

- Aperiodične signale i funkcije, koje predstavljaju električne likove ovih signala, možemo da predstavimo u obliku sume spektralnih komponenata primenom Furijeovog integrala u trigonometrijskom ili kompleksnom obliku.
- Kompleksan oblik Furijeovog integrala glasi:

$$s(t) = \frac{1}{2\pi} \int_{-\infty}^{\infty} e^{j\omega t} d\omega \int_{-\infty}^{\infty} s(t) e^{-j\omega t} dt$$

Ako sa  $\underline{F}(\omega)$  označimo spekralnu karakteristiku:

$$\underline{F}(\omega) = \int_{-\infty}^{\infty} s(t) e^{-j\omega t} dt$$

za Furijeov integral ćemo dobiti izraz:

$$s(t) = \frac{1}{2\pi} \int_{-\infty}^{\infty} \underline{F}(\omega) e^{j\omega t} d\omega$$

- Ovaj izraz predstavlja sumu beskonačno velikog broja komponenata čije su kompleksne amplitude:

$$\underline{S}(\omega) = \frac{1}{2\pi} \underline{F}(\omega) d\omega$$

a učestanosti dve susedne komponente koje se razlikuju za  $d\omega$ .

- Ovi izrazi se nazivaju direktna i inverzna Furijeova transformacija.
- Direktna Furijeova transformacija, tj. određivanje karakteristike  $\underline{F}(\omega)$  direktnim uvođenjem izraza za  $s(t)$  u prednji obrazac, može da se izvede samo u slučaju kada je  $s(t)$  apsolutno integrabilna funkcija

u granicama od  $-\infty$  do  $\infty$  ( $\int_{-\infty}^{\infty} |s(t)| dt$  ima određenu i konačnu vrednost)

nost) i ako ispunjava Dirihleove uslove, tj. da je neprekidna u intervalima konačne dužine.

Skoro svi likovi aperiodičnih signala koji se koriste u telekomunikacijama, mogu se pogodnim pomeranjem koordinatnog početka dovesti na oblik

$$s(t) = 0 \quad \text{za } t < 0$$

- te spektralna karakteristika postaje

$$\underline{F}(\omega) = \int_{-\infty}^{\infty} s(t) e^{-j\omega t} dt$$

Dakle, ovaj izraz za direktnu Furijeovu transformaciju može uvek da se koristi.

- Ako vremenska funkcija, koja predstavlja lik signala  $s(t)$ , nije integrabilna u granicama  $-\infty$  do  $\infty$ , ovo znači da je

$$\lim_{t \rightarrow \infty} s(t) \neq 0$$

- Prema tome spektralna karakteristika ne može direktno da se dobije. Da bi ipak našli Furijeov integral i ovakvih funkcija, mićemo funkciju  $s(t)$  pomnožiti činiocem  $e^{-\sigma t}$ , gde je  $\sigma > 0$  i ne zavisi od  $t$ . Pod prepostavkom da postoji takva vrednost za  $\sigma$  pri kojoj integral

$$\int_{-\infty}^{\infty} |e^{-\sigma t} s(t)| d\omega$$

konvergira, možemo da kažemo da je

$$s(t) = \lim_{\sigma \rightarrow 0} \{e^{-\sigma t} s(t)\}$$

- Direktna Furijeova transformacija sada dobija oblik:

$$\underline{F}(\sigma + j\omega) = \int_0^{\infty} s(t) e^{-(\sigma + j\omega)t} dt$$

- Ovakav izraz ćemo koristiti i za određivanje spektralne karakteristike i za određivanje inverzne Furijeove transformacije. Na kraju, posmatramo izraz

$$s(t) = \lim_{\sigma \rightarrow 0} e^{-\sigma t} s(t)$$

i određujemo izraze za spektralnu karakteristiku  $\underline{F}(\omega)$ , kao i za original funkcije  $s(t)$ .

- Ovako modifikovana Furijeova transformacija, gde smo sa  $p=\sigma+j\omega$  obeležili kompleksnu učestanost, naziva se **direktna Laplasova transformacija**:

$$\underline{F}(p) = \int_0^{\infty} e^{-pt} s(t) dt$$

- Ova transformacija je primenljiva na sve funkcije  $s(t)$ , samo ako one ispunjavaju Dirihićeove uslove.

- Ako na naš lik  $s(t)$  primenimo direktnu Laplasovu transformaciju i uzmemo  $\lim_{\sigma \rightarrow 0}$  dobijamo direktnu Furijeovu transformaciju signala.
- Za Laplasove transformacije postoje već sređene tablice koje daju vezu između  $F(p)$  i  $s(t)$ .
- $F(p)$  se naziva Laplasova transformacija vremenske funkcije  $s(t)$ , a  $s(t)$  se naziva originalom.
- Najčešće Laplasove transformacije date su u sledećoj tabeli.

Original $s(t)$	Transformacija $S(p)$
1	$1/p$
$t$	$1/p^2$
$t^n$	$\frac{n!}{p^{n+1}}$
$t^{-\frac{1}{2}}$	$\left(\frac{\pi}{p}\right)^{\frac{1}{2}}$

Original $s(t)$	Transformacija $S(p)$
$e^{at}$	$\frac{1}{p+a}$
$t \cdot e^{at}$	$\frac{1}{(p+a)^2}$
$1 - e^{-at}$	$\frac{a}{p(p+a)}$
$(1 - at)e^{-at}$	$\frac{p}{(p+a)^2}$

Original s(t)	Transformacija S(p)
$\sin \omega_0 t$	$\frac{\omega}{p^2 + \omega_0^2}$
$\cos \omega_0 t$	$\frac{p}{p^2 + \omega_0^2}$
$\sin(\omega_0 t + \varphi)$	$\frac{p \sin \varphi + \omega_0 \cos \varphi}{p^2 + \omega_0^2}$
$\cos(\omega_0 t + \varphi)$	$\frac{p \sin \varphi - \omega_0 \cos \varphi}{p^2 + \omega_0^2}$
$e^{-at} \sin \omega_0 t$	$\frac{\omega_0}{(p+a)^2 + \omega_0^2}$
$e^{-at} \cos \omega_0 t$	$\frac{p+a}{(p+a)^2 + \omega_0^2}$

- Spektralna karakteristika  $\underline{F}(\omega)$  je kompleksna veličina:

$$\underline{F}(\omega) = |\underline{F}(\omega)| e^{j\varphi(\omega)}$$

gde moduo spektralne karakteristike  $|\underline{F}(\omega)|$  (amplitudska spektralna karakteristika) daje amplitudu, a fazni ugao  $\varphi(\omega)$  (fazna spektralna karakteristika) daje početne faze komponenti. Ove veličine su analogne sa  $S_n = |S_n|$  i  $\varphi_n$  kompleksnog oblika Furijeovog reda.

- Rezultati dobijeni analizom signala preko Furijeove transformacije obično se daju sredeni u obliku spektralnih dijagrama – spektara.
- Pošto su komponente aperiodičnih signala na međusobnoj udaljenosti  $d\omega$ , te je ovaj spektar gust i zamenjuje se anvelopom.
- Često se amplitudski spektar crta u normalizovanom obliku

$$\left| \frac{\underline{F}(\omega)}{\underline{F}(0)} \right|$$

a na faznom spektru se unose fazni uglovi  $\varphi(\omega)$  sa svojim znakom.

- U nekim opsezima učestanosti se menja znak spektralnih komponenata. Ova pojava se dešava na taj način što se u tom opsegu učestanosti fazni ugao  $\varphi(\omega)$  poveća ili smanji za  $\pi$ . Od faznih uglova  $\varphi(\omega) > \pi$  odbacuje se ceo broj umnožaka veličine  $2\pi$ , tj.  $n * 2\pi$ , a uglovi  $\varphi(\omega) > \pi$  se zamenjuju komplementarnim uglom koji čini dopunu do  $2\pi$ , sa suprotnim znakom. Ove operacije ne menjaju spektralnu karakteristiku.
- Za fizički realne signale, gde je  $s(t)=0$  za  $t<0$ , eksponencijalni oblik Furijeovog integrala prelazi u odgovarajući trigonometrijski oblik Furijeovog integrala:

$$s(t) = \frac{1}{\pi} \int_0^{\infty} F(\omega)(\cos \omega t + j \varphi(\omega)) d\omega$$

- Ovo se može uraditi pod uslovom da je  $F(\omega)$  parna funkcija, a  $\varphi(\omega)$  neparna funkcija od  $\omega$ , što je u praksi najčešći slučaj. Trigonometrijski oblik spektralne karakteristike glasi:

$$\underline{F}(\omega) = \alpha(\omega) + j\beta(\omega)$$

gde su

$$\alpha(\omega) = \int_{-\infty}^{\infty} s(t) \cos \omega t \, dt$$

$$\beta(\omega) = - \int_{-\infty}^{\infty} s(t) \sin \omega t \, dt$$

Odavde se dobija:

$$F(\omega) = \sqrt{\alpha^2(\omega) + \beta^2(\omega)}$$

$$\operatorname{tg} \varphi(\omega) = \frac{\beta(\omega)}{\alpha(\omega)}$$

- Oblici spektralne karakteristike  $\underline{F}(\omega)$  za razne  $s(t)$ :
  - 1) ako je  $s(t)$  funkcija parna po  $t$  imamo

$$\underline{F}(\omega) = 2 \int_0^{\infty} s(t) \cos \omega t \, dt$$

- 2) ako je  $s(t)$  funkcija neparna po  $t$  imamo

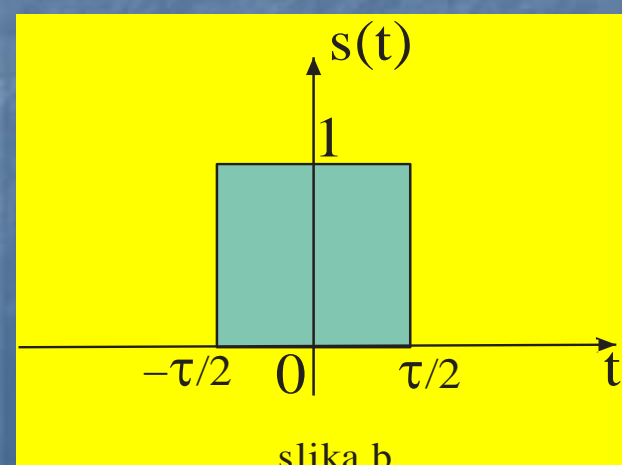
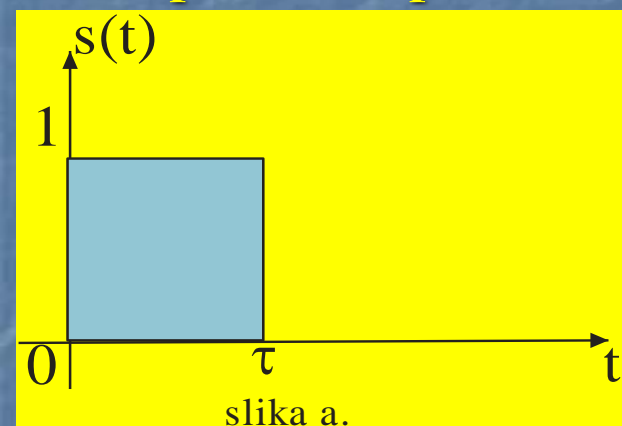
$$\underline{F}(\omega) = -j 2 \int_0^{\infty} s(t) \sin \omega t \, dt$$

i to bi bio imaginarni spektar.

- **Zadatak 1.** Primenom Furijeove transformacije odrediti spektralnu karakteristiku  $\underline{F}(\omega)$  i nacrtati spektre:

- usamljenog jediničnog impulsa, trajanja  $\tau$ , prikazanog na slici a.
- usamljenog jediničnog impulsa, trajanja  $\tau$ , prikazanog na slici b.

Uporediti spektre ovih impusa.



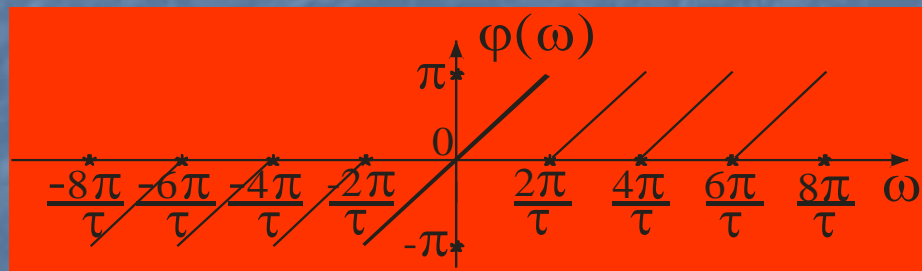
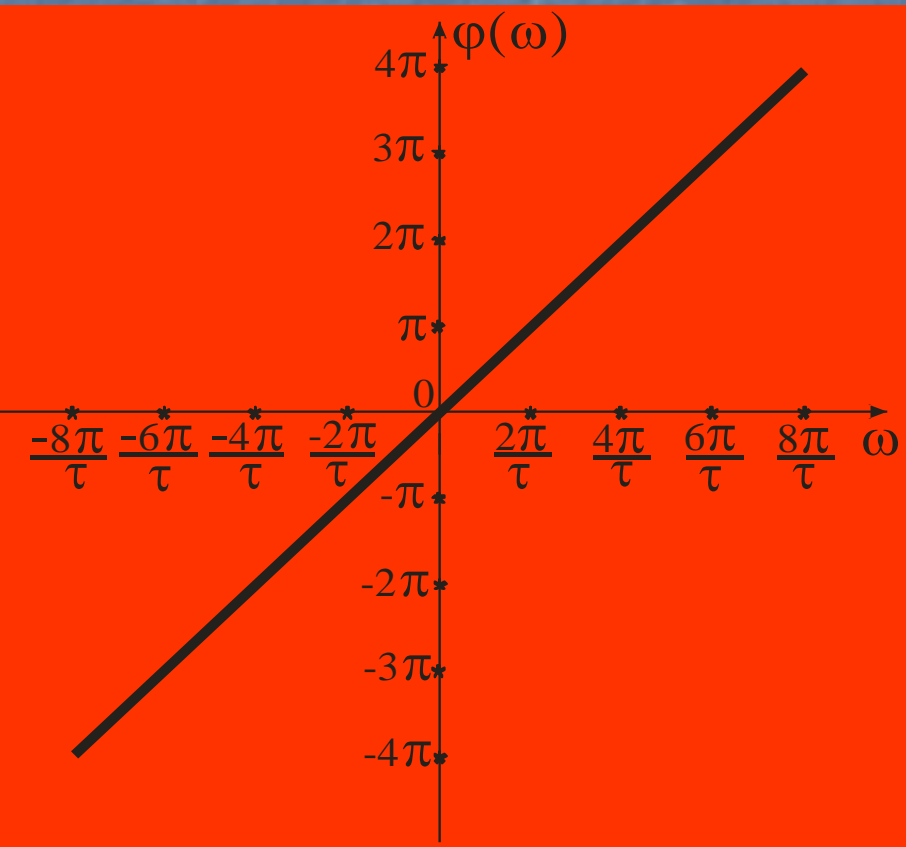
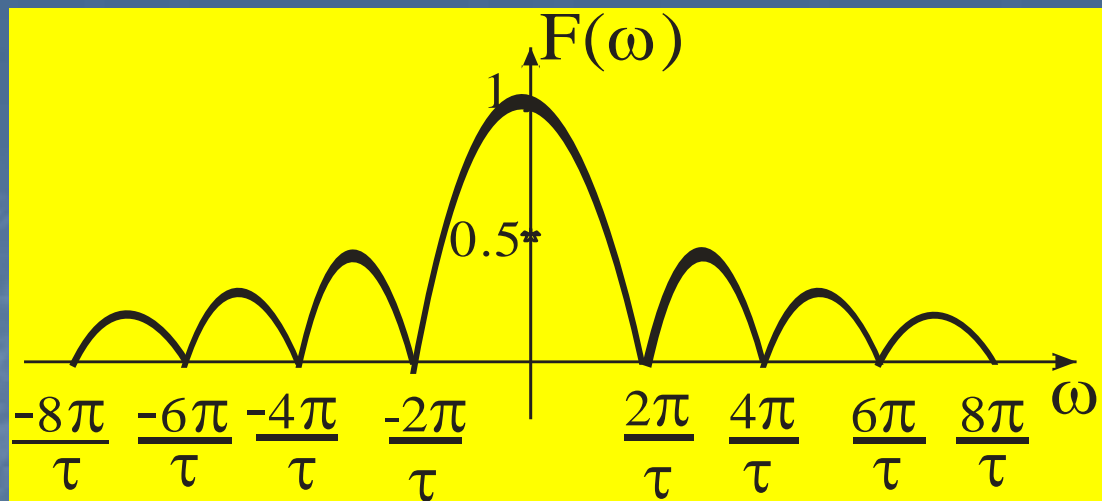
a) U prvom slučaju imao:

$$\begin{aligned}\alpha(\omega) &= \int_{-\infty}^{\infty} s(t) \cos \omega t dt = \int_0^{\tau} \cos \omega t dt = \frac{1}{\omega} \sin \omega t \Big|_0^{\tau} = \\ &= \frac{1}{\omega} (\sin \omega \tau - \sin 0) = \frac{1}{\omega} \sin \omega \tau\end{aligned}$$

$$\begin{aligned}\beta(\omega) &= - \int_{-\infty}^{\infty} s(t) \sin \omega t dt = - \int_0^{\tau} \sin \omega t dt = \frac{1}{\omega} \cos \omega t \Big|_0^{\tau} = \\ &= \frac{1}{\omega} (\cos \omega \tau - \cos 0) = \frac{1}{\omega} (\cos \omega \tau - 1)\end{aligned}$$

$$\begin{aligned}
F(\omega) &= \sqrt{\alpha^2(\omega) + \beta^2(\omega)} = \sqrt{\frac{1}{\omega^2} \sin^2 \omega \tau + \frac{1}{\omega^2} (\cos \omega \tau - 1)^2} = \\
&= \frac{1}{\omega} \sqrt{\sin^2 \omega \tau + \cos^2 \omega \tau - 2 \cos \omega \tau + 1} = \frac{1}{\omega} \sqrt{2 - 2 \cos \omega \tau} = \\
&= \frac{1}{\omega} \sqrt{2 \sin^2 \left( \frac{\omega \tau}{2} \right) + 2 \cos^2 \left( \frac{\omega \tau}{2} \right) - 2 \cos^2 \left( \frac{\omega \tau}{2} \right) + 2 \sin^2 \left( \frac{\omega \tau}{2} \right)} = \\
&= \frac{1}{\omega} \sqrt{4 \sin^2 \left( \frac{\omega \tau}{2} \right)} = \frac{2}{\omega} \sin \left( \frac{\omega \tau}{2} \right)
\end{aligned}$$

$$\begin{aligned}
\varphi(\omega) &= \operatorname{arctg} \left( \frac{\beta(\omega)}{\alpha(\omega)} \right) = \operatorname{arctg} \left( \frac{\frac{1}{\omega} (\cos \omega \tau - 1)}{\frac{1}{\omega} \sin \omega \tau} \right) = \\
&= \operatorname{arctg} \left( \frac{\cos^2 \left( \frac{\omega \tau}{2} \right) - \sin^2 \left( \frac{\omega \tau}{2} \right) - \cos^2 \left( \frac{\omega \tau}{2} \right) - \sin^2 \left( \frac{\omega \tau}{2} \right)}{2 \sin \frac{\omega \tau}{2} \cos \frac{\omega \tau}{2}} \right) = \operatorname{arctg} \left( \frac{-2 \sin^2 \left( \frac{\omega \tau}{2} \right)}{2 \sin \frac{\omega \tau}{2} \cos \frac{\omega \tau}{2}} \right) = \\
&= \operatorname{arctg} \left( \frac{-\sin \left( \frac{\omega \tau}{2} \right)}{\cos \frac{\omega \tau}{2}} \right) = \operatorname{arctg} \left( -\operatorname{tg} \left( \frac{\omega \tau}{2} \right) \right) = \operatorname{arctg} \left( \operatorname{tg} \left( -\frac{\omega \tau}{2} \right) \right) = -\frac{\omega \tau}{2}
\end{aligned}$$



■ b) U slučaju da se impuls posmatra kao parna funkcija dobijamo

$$\begin{aligned}\alpha(\omega) &= \int_{-\infty}^{\infty} s(t) \cos \omega t dt = \int_{-\tau/2}^{\tau/2} \cos \omega t dt = \frac{1}{\omega} \sin \omega t \Big|_{-\tau/2}^{\tau/2} = \\ &= \frac{1}{\omega} \left( \sin \left( \frac{\omega \tau}{2} \right) - \sin \left( -\frac{\omega \tau}{2} \right) \right) = \frac{2}{\omega} \sin \left( \frac{\omega \tau}{2} \right)\end{aligned}$$

$$\begin{aligned}\beta(\omega) &= - \int_{-\infty}^{\infty} s(t) \sin \omega t dt = - \int_{-\tau/2}^{\tau/2} \sin \omega t dt = \frac{1}{\omega} \cos \omega t \Big|_{-\tau/2}^{\tau/2} = \\ &= \frac{1}{\omega} \left( \cos \left( \frac{\omega \tau}{2} \right) - \cos \left( -\frac{\omega \tau}{2} \right) \right) = \frac{1}{\omega} \left( \cos \left( \frac{\omega \tau}{2} \right) - \cos \left( \frac{\omega \tau}{2} \right) \right) = 0\end{aligned}$$

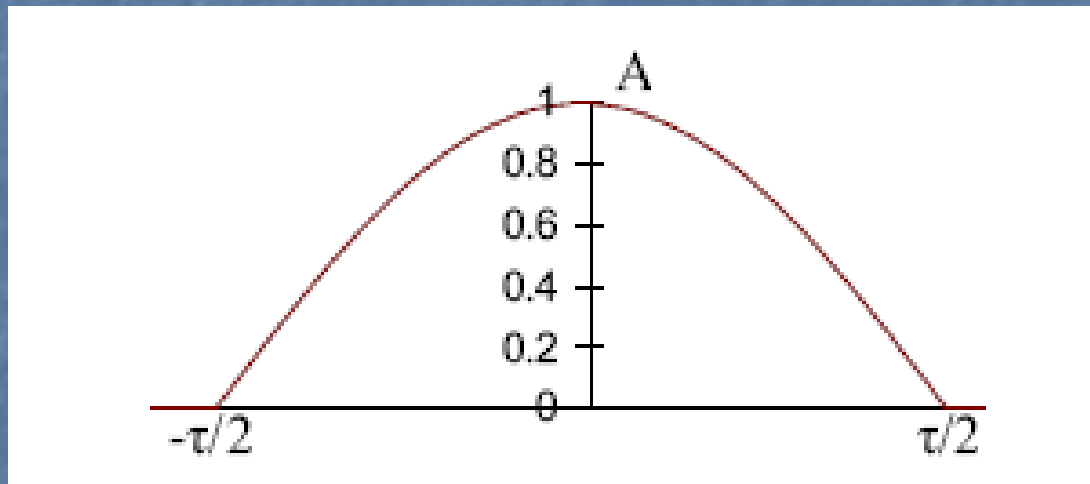
$$F(\omega) = \sqrt{\alpha^2(\omega) + \beta^2(\omega)} = \sqrt{\frac{2^2}{\omega^2} \sin^2 \left( \frac{\omega \tau}{2} \right) + 0^2} = \frac{2}{\omega} \sin \left( \frac{\omega \tau}{2} \right)$$

$$\begin{aligned}\varphi(\omega) &= \operatorname{arctg} \left( \frac{\beta(\omega)}{\alpha(\omega)} \right) = \\ &= \operatorname{arctg} \left( \frac{0}{\frac{2}{\omega} \sin \left( \frac{\omega \tau}{2} \right)} \right) = \operatorname{arctg}(0) = 0\end{aligned}$$

□ Amplitudski spektar je isti kao i u prethodnom slučaju, ali fazni spektar je jednak 0, što znači da su sve komponente u fazi.

- Zadatak 2. Odrediti spektar kosinusnog impulsa amplitude A i trajanja  $\tau$ . Talasni oblik impulsa dat je sledećim analitičkim izrazom:

$$s(t) = \begin{cases} 0 & za \quad -\infty < t < -\tau/2 \\ A & za \quad -\tau/2 < t < \tau/2 \\ 0 & za \quad \tau/2 < t < \infty \end{cases}$$



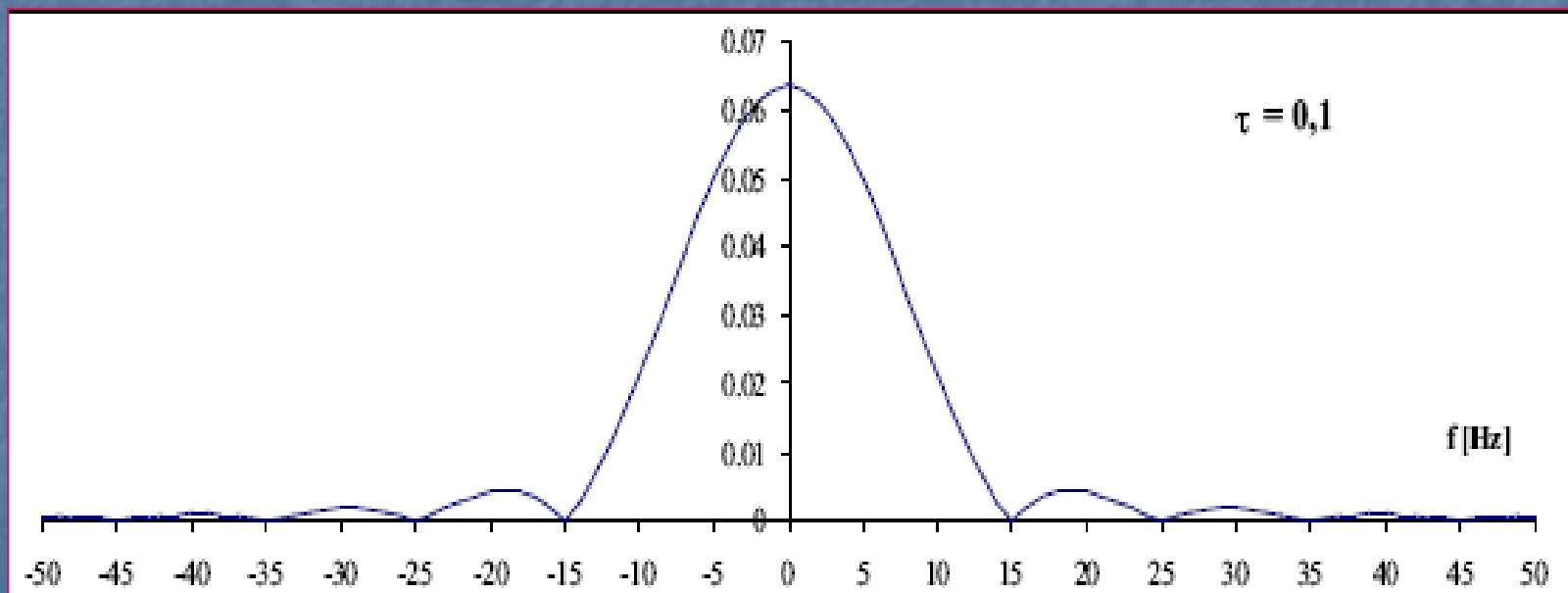
- Furijeovu transformaciju kosinusnog impulsa možemo odrediti koristeći se osobinama parnih funkcija.

$$\underline{F(j\omega)} = F(\omega) = \alpha(\omega)$$

$$\begin{aligned}
\alpha(\omega) &= \int_{-\infty}^{\infty} s(t) \cos \omega t dt = \int_{-\tau/2}^{\tau/2} A \cos\left(\frac{\pi}{\tau}t\right) \cos \omega t dt = 2A \int_0^{\tau/2} \cos\left(\frac{\pi}{\tau}t\right) \cos \omega t dt = \\
&\left\{ \begin{array}{l} \frac{\alpha + \beta}{2} = \omega t \\ \frac{\alpha - \beta}{2} = \frac{\pi}{\tau}t \end{array} \Rightarrow \begin{array}{l} \alpha = \left(\omega + \frac{\pi}{\tau}\right)t \\ \beta = \left(\omega - \frac{\pi}{\tau}\right)t \end{array} \right\} = A \frac{\sin\left(\left(\omega + \frac{\pi}{\tau}\right)\frac{\tau}{2}\right)}{\omega + \frac{\pi}{\tau}} + A \frac{\sin\left(\left(\omega - \frac{\pi}{\tau}\right)\frac{\tau}{2}\right)}{\omega - \frac{\pi}{\tau}} = \\
&= A \frac{\sin\left(\omega \frac{\tau}{2} + \frac{\pi}{2}\right)}{\omega + \frac{\pi}{\tau}} + A \frac{\sin\left(\omega \frac{\tau}{2} - \frac{\pi}{2}\right)}{\omega - \frac{\pi}{\tau}} = A \frac{\cos\left(\omega \frac{\tau}{2}\right)}{\omega + \frac{\pi}{\tau}} - A \frac{\cos\left(\omega \frac{\tau}{2}\right)}{\omega - \frac{\pi}{\tau}} = \\
&= A \cos\left(\omega \frac{\tau}{2}\right) \frac{\omega - \frac{\pi}{\tau} - \omega - \frac{\pi}{\tau}}{\omega^2 - \left(\frac{\pi}{\tau}\right)^2} = A \cos\left(\omega \frac{\tau}{2}\right) \frac{-2\frac{\pi}{\tau}}{\omega^2 - \left(\frac{\pi}{\tau}\right)^2} = 2 \frac{A\tau}{\pi} \frac{\cos\left(\omega \frac{\tau}{2}\right)}{1 - \left(\frac{\omega\tau}{\pi}\right)^2}
\end{aligned}$$

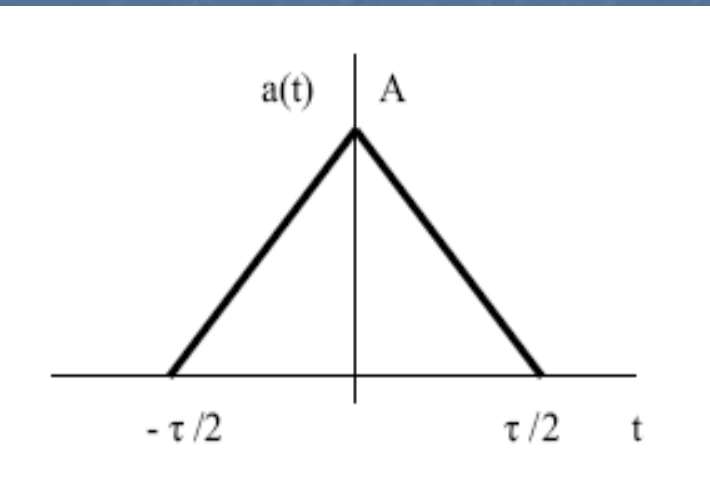
- Tablica karakterističnih tačaka Furijeove transformacije kosinusnog impulsa daje nam informaciju da je prva nula kosinusnog impulsa na učestanostima  $3\pi/\tau$  i  $-3\pi/\tau$ .

$\omega$	$-3\pi/\tau$	$-\pi/\tau$	0	$\pi/\tau$	$3\pi/\tau$
f	$-3/(2\tau)$	$-1/(2\tau)$	0	$1/(2\tau)$	$3/(2\tau)$
$F(\omega)$	0	$A\tau/2$	$2A\tau/\pi$	$A\tau/2$	0



$$\tau=0.1 \text{ [s]}, A=1[\text{V}]$$

- Zadatak 3. Odrediti spektar trougaonog impulsa amplitude A i trajanja  $\tau$ . Talasni oblik impulsa je dat izrazom:



$$a(t) = \begin{cases} 0 & za \quad -\infty < t < -\tau/2 \\ A\left(1 + 2\frac{t}{\tau}\right) & za \quad -\tau/2 < t < 0 \\ A\left(1 - 2\frac{t}{\tau}\right) & za \quad 0 < t < \tau/2 \\ 0 & za \quad \tau/2 < t < \infty \end{cases}$$

- Za određivanje spektra trougaonog impulsa amplitude A i trajanja  $\tau$ , možemo se koristiti i kompleksnim oblikom:

$$\begin{aligned} \Im\{a(t)\} &= A(j\omega) = \int_{-\infty}^{\infty} a(t) e^{-j\omega t} dt = \\ &= A \int_{-\tau/2}^0 \left(1 + \frac{2}{\tau}t\right) e^{-j\omega t} dt + A \int_0^{\tau/2} \left(1 - \frac{2}{\tau}t\right) e^{-j\omega t} dt = \end{aligned}$$

$$\begin{aligned}
A(j\omega) &= A \int_{-\tau/2}^{\tau/2} e^{-j\omega t} dt + \frac{2A}{\tau} \left[ \int_{-\tau/2}^0 t e^{-j\omega t} dt - \int_0^{\tau/2} t e^{-j\omega t} dt \right] = \\
&= -\frac{A}{j\omega} e^{-j\omega t} \Big|_{-\tau/2}^{\tau/2} + \frac{2A}{\tau} \frac{e^{-j\omega t}}{-\omega^2} (-j\omega t - 1) \Big|_{-\tau/2}^0 - \frac{2A}{\tau} \frac{e^{-j\omega t}}{-\omega^2} (-j\omega t - 1) \Big|_0^{\tau/2} = \\
&= -\frac{A}{j\omega} \left( e^{-j\omega\tau/2} - e^{j\omega\tau/2} \right) + \frac{2A}{\tau} \left( \frac{1}{\omega^2} + \frac{e^{j\omega\tau/2}}{\omega^2} \left( j\omega \frac{\tau}{2} - 1 \right) \right) - \frac{2A}{\tau} \left( -\frac{1}{\omega^2} - \frac{e^{-j\omega\tau/2}}{\omega^2} \left( -j\omega \frac{\tau}{2} - 1 \right) \right) = \\
&= \frac{2A}{\omega} \left( \frac{e^{j\omega\tau/2} - e^{-j\omega\tau/2}}{2j} \right) + \frac{4A}{\tau} \frac{1}{\omega^2} + \frac{2A}{\tau} \left( \frac{e^{j\omega\tau/2}}{\omega^2} \left( j\omega \frac{\tau}{2} - 1 \right) \right) + \frac{2A}{\tau} \left( \frac{e^{-j\omega\tau/2}}{\omega^2} \left( -j\omega \frac{\tau}{2} - 1 \right) \right) = \\
&= \frac{2A}{\omega} \sin\left(\omega \frac{\tau}{2}\right) + \frac{4A}{\tau} \frac{1}{\omega^2} + \frac{2A}{\tau} \frac{e^{j\omega\tau/2}}{\omega^2} j\omega \frac{\tau}{2} - \frac{2A}{\tau} \frac{e^{j\omega\tau/2}}{\omega^2} - \frac{2A}{\tau} \frac{e^{-j\omega\tau/2}}{\omega^2} j\omega \frac{\tau}{2} - \frac{2A}{\tau} \frac{e^{-j\omega\tau/2}}{\omega^2} = \\
&= A\tau \frac{\sin\left(\omega \frac{\tau}{2}\right)}{\omega \frac{\tau}{2}} + \frac{4A}{\tau} \frac{1}{\omega^2} + jA \frac{e^{j\omega\tau/2}}{\omega} - \frac{2A}{\tau} \frac{e^{j\omega\tau/2}}{\omega^2} - jA \frac{e^{-j\omega\tau/2}}{\omega} - \frac{2A}{\tau} \frac{e^{-j\omega\tau/2}}{\omega^2} = \\
&= A\tau \frac{\sin\left(\omega \frac{\tau}{2}\right)}{\omega \frac{\tau}{2}} + \frac{4A}{\tau} \frac{1}{\omega^2} + \frac{jA}{\omega} \left( e^{j\omega\tau/2} - e^{-j\omega\tau/2} \right) - \frac{2A}{\tau \omega^2} \left( e^{j\omega\tau/2} - e^{-j\omega\tau/2} \right) = \\
&= A\tau \frac{\sin\left(\omega \frac{\tau}{2}\right)}{\omega \frac{\tau}{2}} + \frac{4A}{\tau} \frac{1}{\omega^2} - \frac{2A}{j2\omega} \left( e^{j\omega\tau/2} - e^{-j\omega\tau/2} \right) - \frac{2A}{\tau \omega^2} \left( e^{j\omega\tau/2} - e^{-j\omega\tau/2} \right)
\end{aligned}$$

$$\begin{aligned}
A(j\omega) &= A\tau \frac{\sin\left(\omega\frac{\tau}{2}\right)}{\omega\frac{\tau}{2}} + \frac{4A}{\tau} \frac{1}{\omega^2} - \frac{A\tau}{\omega\frac{\tau}{2}} \sin\left(\omega\frac{\tau}{2}\right) - \frac{2A}{\tau\omega^2} \left(e^{j\omega\tau/2} + e^{-j\omega\tau/2}\right) = \\
&= \frac{4A}{\tau} \frac{1}{\omega^2} - \frac{4A}{2\tau\omega^2} \left(e^{j\omega\tau/2} + e^{-j\omega\tau/2}\right) = \frac{4A}{\tau} \frac{1}{\omega^2} - \frac{4A}{\tau\omega^2} \cos\left(\omega\frac{\tau}{2}\right) = \\
&= A\tau \frac{4}{\omega^2\tau^2} - A\tau \frac{4}{\omega^2\tau^2} \cos\left(\omega\frac{\tau}{2}\right) = \frac{A\tau}{\omega^2\tau^2} - \frac{A\tau}{\omega^2\tau^2} \cos\left(\omega\frac{\tau}{2}\right) = A\tau \frac{1 - \cos\left(\omega\frac{\tau}{2}\right)}{\left(\omega\frac{\tau}{2}\right)^2}
\end{aligned}$$

- Tablica karakterističnih tačaka Furijeove transformacije kosinusnog impulsa daje nam informaciju da je prva nula kosinusnog impulsa na učestanostima  $4\pi/\tau$  i  $-4\pi/\tau$ .

$\omega$	$-4\pi/\tau$	0	$4\pi/\tau$
f	$-2/\tau$	0	$2/\tau$
$A(j\omega)$	0	$A\tau/2$	0

